



Московский государственный университет имени М. В. Ломоносова  
Факультет вычислительной математики и кибернетики  
Кафедра суперкомпьютеров и квантовой информатики

Вариант 1 по заданию 3-й поток по курсу  
«Суперкомпьютерное моделирование и технологии»

**Работу**  
**выполнил:**  
Юань Дунлян  
Группа: 623

Москва  
2024

# Содержание

<b>1. Постановка задачи</b>	<b>4</b>
<b>2. Численный метод решения задачи</b>	<b>5</b>
2.1. Разностная схема	5
2.2. Инициализация и алгоритм решения	5
<b>3. Параллельная реализация MPI + OpenMP и тестирование на Polus</b>	<b>6</b>
3.1. Тестирование на Polus	6
3.1.1. Параметры тестовой задачи	6
3.1.2. Вычисление погрешности $\delta$	6
3.1.3. Результаты расчетов на IBM Polus для программы OpenMP версии	7
3.1.4. Результаты расчетов на IBM Polus для программы MPI версии	9
3.1.5. Результаты расчетов на IBM Polus для гибридной программы MPI+OpenMP версии	10
<b>4. Параллельная реализация MPI + CUDA и тестирование на Polus</b>	<b>11</b>
4.1. Тестирование на Polus	11
4.1.1. Параметры тестовой задачи	11
4.2. Команды компиляции и скрипты запуска	11
4.2.1. Последовательная версия	11
4.2.2. MPI версия	12
4.2.3. MPI + OpenMP версия	13
4.2.4. MPI + GPU версия	14
4.3. Проверка корректности MPI+GPU реализации	15
4.3.1. Результаты проверки для одного MPI процесса и одного GPU:	15
4.3.2. Результаты проверки для двух MPI процессов и двух GPU:	16
4.4. Результаты расчетов на IBM Polus для программы MPI+CUDA версии	16
4.5. Сравнение производительности на основе общего времени выполнения	17
4.6. Сравнение производительности на основе времени вычислений	17
4.7. Анализ масштабируемости и эффективности параллельных реализаций	18
4.8. Исходный код	19
<b>5. Компиляция и выполнение программы (на этапах 1 2 3)</b>	<b>20</b>
5.1. Последовательная Версия	20
5.1.1. Команда компиляции	20
5.1.2. Команда выполнения	20
5.1.3. Параметры командной строки	20
5.1.4. Скрипт для системы Polus	20
5.2. OpenMP Версия	21
5.2.1. Команда компиляции	21
5.2.2. Команда выполнения	21
5.2.3. Параметры командной строки	21
5.2.4. Скрипт для системы Polus	21
5.3. MPI Версия	21
5.3.1. Команда компиляции	21
5.3.2. Команда выполнения	22
5.3.3. Параметры командной строки	22

5.3.4. Скрипт для системы Polus . . . . .	22
5.4. MPI + OpenMP Версия . . . . .	24
5.4.1. Команда компиляции . . . . .	24
5.4.2. Команда выполнения . . . . .	24
5.4.3. Скрипт для системы Polus . . . . .	24
<b>Список литературы</b>	<b>26</b>

# 1. Постановка задачи

В данной работе требуется численно решить трехмерное гиперболическое уравнение:

$$\frac{\partial^2 u}{\partial t^2} = \Delta u$$

в области  $\Omega = [0 \leq x \leq L_x] \times [0 \leq y \leq L_y] \times [0 \leq z \leq L_z]$  для времени  $(0 < t \leq T]$  с начальными условиями:

$$u|_{t=0} = \varphi(x, y, z),$$
$$\left. \frac{\partial u}{\partial t} \right|_{t=0} = 0$$

и граничными условиями первого рода.

Задача должна быть реализована с использованием:

- Блочного разбиения расчетной области между процессами
- Явной разностной схемы для аппроксимации уравнения
- Параллельных вычислений на суперкомпьютере IBM Polus

Требуется:

1. Реализовать параллельный алгоритм решения задачи
2. Провести расчеты с различными параметрами сетки
3. Исследовать точность полученного численного решения
4. Оценить эффективность параллельной реализации

В данном варианте задачи аналитическое решение имеет вид:

$$u_{analytical} = \sin\left(\frac{\pi x}{L_x}\right) \cdot \sin\left(\frac{\pi y}{L_y}\right) \cdot \sin\left(\frac{\pi z}{L_z}\right) \cdot \cos(a_t t)$$

где

$$a_t = \pi \sqrt{\frac{1}{L_x^2} + \frac{1}{L_y^2} + \frac{1}{L_z^2}}$$

Легко проверить, что данное решение удовлетворяет граничным условиям первого рода:

$$u(0, y, z, t) = 0, \quad u(L_x, y, z, t) = 0,$$
$$u(x, 0, z, t) = 0, \quad u(x, L_y, z, t) = 0,$$
$$u(x, y, 0, t) = 0, \quad u(x, y, L_z, t) = 0$$

и начальным условиям:

$$u|_{t=0} = \sin\left(\frac{\pi x}{L_x}\right) \cdot \sin\left(\frac{\pi y}{L_y}\right) \cdot \sin\left(\frac{\pi z}{L_z}\right)$$
$$\left. \frac{\partial u}{\partial t} \right|_{t=0} = 0$$

Данное аналитическое решение будет использоваться для оценки точности численного метода.

## 2. Численный метод решения задачи

Для численного решения поставленной задачи используем метод конечных разностей на равномерной сетке. Введем пространственно-временную сетку:

$$\begin{aligned}\bar{\omega}_h &= \{(x_i = ih_x, y_j = jh_y, z_k = kh_z), i = 0, \dots, N_x, j = 0, \dots, N_y, k = 0, \dots, N_z\}, \\ h_x &= \frac{L_x}{N_x}, \quad h_y = \frac{L_y}{N_y}, \quad h_z = \frac{L_z}{N_z}, \\ \omega_\tau &= \{t_n = n\tau, n = 0, 1, \dots, K, \tau K = T\},\end{aligned}$$

где  $\omega_h$  - множество внутренних узлов сетки,  $\gamma_h$  - множество граничных узлов.

### 2.1. Разностная схема

Для аппроксимации уравнения используем явную схему:

$$\frac{u_{ijk}^{n+1} - 2u_{ijk}^n + u_{ijk}^{n-1}}{\tau^2} = \Delta_h u_{ijk}^n,$$

где  $\Delta_h$  - семиточечный разностный оператор Лапласа:

$$\begin{aligned}\Delta_h u_{ijk}^n &= \frac{u_{i+1,j,k}^n - 2u_{i,j,k}^n + u_{i-1,j,k}^n}{h_x^2} + \\ &\quad \frac{u_{i,j+1,k}^n - 2u_{i,j,k}^n + u_{i,j-1,k}^n}{h_y^2} + \\ &\quad \frac{u_{i,j,k+1}^n - 2u_{i,j,k}^n + u_{i,j,k-1}^n}{h_z^2}\end{aligned}$$

### 2.2. Инициализация и алгоритм решения

Для начала расчета необходимо задать значения решения на первых двух временных слоях.

1. На нулевом слое используем начальное условие:

$$u_{ijk}^0 = \sin\left(\frac{\pi x_i}{L_x}\right) \sin\left(\frac{\pi y_j}{L_y}\right) \sin\left(\frac{\pi z_k}{L_z}\right)$$

2. Для первого временного слоя используем аппроксимацию второго порядка:

$$u_{ijk}^1 = u_{ijk}^0 + \frac{\tau^2}{2} \Delta_h u_{ijk}^0$$

3. Для последующих временных слоев используем явную схему:

$$u_{ijk}^{n+1} = 2u_{ijk}^n - u_{ijk}^{n-1} + \tau^2 \Delta_h u_{ijk}^n$$

### 3. Параллельная реализация MPI + OpenMP и тестирование на Polus

#### 3.1. Тестирование на Polus

Тестирование проводилось на вычислительном комплексе Polus МГУ со следующими характеристиками:

- Процессоры: IBM POWER8
- Число ядер на узел: 20
- Объём оперативной памяти: 256GB на узел

##### 3.1.1. Параметры тестовой задачи

- Временной интервал:  $T$
- Шаг по времени:  $\tau$
- Число шагов по времени:  $K$

##### 3.1.2. Вычисление погрешности $\delta$

$$\delta = \|e\|_{L^2} = \left( \sum_{i=1}^{N_x} \sum_{j=1}^{N_y} \sum_{k=1}^{N_z} |u_{i,j,k}^{numerical} - u_{i,j,k}^{exact}|^2 \Delta x \Delta y \Delta z \right)^{\frac{1}{2}}$$

### 3.1.3. Результаты расчетов на IBM Polus для программы OpenMP версии

Область:  $[0, 1] \times [0, 1] \times [0, 1]$  ,  $\tau = 0.001$  ,  $K = 20$

Число OpenMP потоков $N_p$	Число точек сетки $N^3$	Время решения $T$ /(s)	Ускорение $S$	Погрешность $\delta$
1	$128^3$	0.46	1.00	1.00e-07
2	$128^3$	0.28	1.64	1.00e-07
4	$128^3$	0.14	3.29	1.00e-07
8	$128^3$	0.07	6.57	1.00e-07
10	$128^3$	0.06	7.67	1.00e-07
16	$128^3$	0.04	11.50	1.00e-07
20	$128^3$	0.03	15.33	1.00e-07
32	$128^3$	0.043	10.70	1.00e-07
40	$128^3$	0.036	12.78	1.00e-07
64	$128^3$	0.034	13.53	1.00e-07
120	$128^3$	0.032	14.38	1.00e-07
160	$128^3$	0.029	15.86	1.00e-07
1	$256^3$	3.75	1.00	2.12e-08
2	$256^3$	2.33	1.61	2.12e-08
4	$256^3$	1.175	3.19	2.12e-08
8	$256^3$	0.593	6.32	2.12e-08
10	$256^3$	0.491	7.64	2.12e-08
16	$256^3$	0.302	12.42	2.12e-08
20	$256^3$	0.243	15.43	2.12e-08
32	$256^3$	0.484	7.75	2.12e-08
40	$256^3$	0.279	13.44	2.12e-08
64	$256^3$	0.267	14.04	2.12e-08
120	$256^3$	0.227	16.52	2.12e-08
160	$256^3$	0.219	17.12	2.12e-08
1	$512^3$	30.08	1.00	1.40e-09
2	$512^3$	18.79	1.60	1.40e-09
4	$512^3$	9.52	3.16	1.40e-09
8	$512^3$	4.83	6.23	1.40e-09
10	$512^3$	3.92	7.67	1.40e-09
16	$512^3$	2.48	12.13	1.40e-09
20	$512^3$	2.01	14.96	1.40e-09
32	$512^3$	2.81	10.70	1.40e-09
40	$512^3$	2.27	13.25	1.40e-09
64	$512^3$	2.20	13.67	1.40e-09
120	$512^3$	1.79	16.80	1.40e-09
160	$512^3$	1.73	17.39	1.40e-09

Область:  $[0, \pi] \times [0, \pi] \times [0, \pi]$  ,  $\tau = 0.001$  ,  $K = 20$

Число ОрепМР потоков $N_p$	Число точек сетки $N^3$	Время решения $T$ /(s)	Ускорение $S$	Погрешность $\delta$
1	$128^3$	0.45	1.00	1.07e-08
2	$128^3$	0.28	1.57	1.07e-08
4	$128^3$	0.14	3.14	1.07e-08
8	$128^3$	0.07	6.29	1.07e-08
10	$128^3$	0.05	8.80	1.07e-08
16	$128^3$	0.037	11.89	1.07e-08
20	$128^3$	0.031	14.19	1.07e-08
32	$128^3$	0.044	10.00	1.07e-08
40	$128^3$	0.036	12.22	1.07e-08
64	$128^3$	0.034	12.94	1.07e-08
120	$128^3$	0.032	13.75	1.07e-08
160	$128^3$	0.029	15.17	1.07e-08
1	$256^3$	3.79	1.00	2.62e-09
2	$256^3$	2.33	1.55	2.62e-09
4	$256^3$	1.175	3.06	2.62e-09
8	$256^3$	0.593	6.07	2.62e-09
10	$256^3$	0.491	7.33	2.62e-09
16	$256^3$	0.302	11.92	2.62e-09
20	$256^3$	0.243	14.81	2.62e-09
32	$256^3$	0.484	7.44	2.62e-09
40	$256^3$	0.279	12.90	2.62e-09
64	$256^3$	0.267	13.48	2.62e-09
120	$256^3$	0.227	15.86	2.62e-09
160	$256^3$	0.219	16.44	2.62e-09
1	$512^3$	29.57	1.00	6.14e-10
2	$512^3$	18.75	1.54	6.14e-10
4	$512^3$	9.52	3.03	6.14e-10
8	$512^3$	4.81	6.00	6.14e-10
10	$512^3$	3.91	7.39	6.14e-10
16	$512^3$	2.49	11.60	6.14e-10
20	$512^3$	2.01	14.37	6.14e-10
32	$512^3$	2.82	10.24	6.14e-10
40	$512^3$	2.27	12.72	6.14e-10
64	$512^3$	2.23	12.95	6.14e-10
120	$512^3$	1.81	15.96	6.14e-10
160	$512^3$	1.74	16.60	6.14e-10



### 3.1.4. Результаты расчетов на IBM Polus для программы MPI версии

Область:  $[0, 1] \times [0, 1] \times [0, 1]$  ,  $\tau = 0.001$  ,  $K = 20$

Число MPI процессов $N_p$	Число точек сетки $N^3$	Время решения $T$ /(s)	Ускорение $S$	Погрешность $\delta$
1	$128^3$	0.46	1.00	1.00e-07
2	$128^3$	0.29	1.59	1.00e-07
4	$128^3$	0.14	3.29	1.00e-07
8	$128^3$	0.12	3.83	1.00e-07
10	$128^3$	0.09	5.11	1.00e-07
16	$128^3$	0.11	4.18	1.00e-07
20	$128^3$	0.14	3.29	1.00e-07
32	$128^3$	0.08	5.75	1.00e-07
1	$256^3$	3.75	1.00	2.12e-08
2	$256^3$	2.35	1.60	2.12e-08
4	$256^3$	1.17	3.21	2.12e-08
8	$256^3$	0.61	6.15	2.12e-08
10	$256^3$	0.53	7.08	2.12e-08
16	$256^3$	0.70	5.36	2.12e-08
20	$256^3$	0.51	7.35	2.12e-08
32	$256^3$	0.28	13.39	2.12e-08
1	$512^3$	30.08	1.00	1.40e-09
2	$512^3$	19.34	1.56	1.40e-09
4	$512^3$	9.67	3.11	1.40e-09
8	$512^3$	7.34	4.10	1.40e-09
10	$512^3$	4.71	6.39	1.40e-09
16	$512^3$	4.06	7.41	1.40e-09
20	$512^3$	3.14	9.58	1.40e-09
32	$512^3$	1.29	23.31	1.40e-09

Область:  $[0, \pi] \times [0, \pi] \times [0, \pi]$  ,  $\tau = 0.001$  ,  $K = 20$

Число MPI процессов $N_p$	Число точек сетки $N^3$	Время решения $T$ /(s)	Ускорение $S$	Погрешность $\delta$
1	$128^3$	0.45	1.00	1.07e-08
2	$128^3$	0.28	1.61	1.07e-08
4	$128^3$	0.15	3.00	1.07e-08
8	$128^3$	0.12	3.75	1.07e-08
10	$128^3$	0.05	9.00	1.07e-08
16	$128^3$	0.11	4.09	1.07e-08
20	$128^3$	0.08	5.63	1.07e-08
32	$128^3$	0.073	6.16	1.07e-08
1	$256^3$	3.79	1.00	2.62e-09
2	$256^3$	2.32	1.63	2.62e-09
4	$256^3$	1.20	3.16	2.62e-09
8	$256^3$	0.62	6.11	2.62e-09
10	$256^3$	0.47	8.06	2.62e-09
16	$256^3$	0.81	4.68	2.62e-09
20	$256^3$	0.30	12.63	2.62e-09
32	$256^3$	0.379	10.00	2.62e-09
1	$512^3$	29.57	1.00	6.14e-10
2	$512^3$	18.57	1.59	6.14e-10
4	$512^3$	9.38	3.15	6.14e-10
8	$512^3$	4.77	6.20	6.14e-10
10	$512^3$	4.78	6.19	6.14e-10
16	$512^3$	2.54	11.64	6.14e-10
20	$512^3$	2.11	14.01	6.14e-10
32	$512^3$	1.27	23.28	6.14e-10

### 3.1.5. Результаты расчетов на IBM Polus для гибридной программы MPI+OpenMP версии

Область:  $[0, 1] \times [0, 1] \times [0, 1]$  ,  $\tau = 0.001$  ,  $K = 20$

Число MPI процессов $N_p$	Число OpenMP нитей в процессе	Число точек сетки $N^3$	Время решения $T$	Ускорение $S$	Погрешность $\delta$
1	4	$128^3$	0.16	2.88	1.00e-07
2	4	$128^3$	0.08	5.75	1.00e-07
4	4	$128^3$	0.04	11.50	1.00e-07
8	4	$128^3$	0.076	6.05	1.00e-07
1	4	$256^3$	1.30	2.88	2.12e-08
2	4	$256^3$	0.64	5.86	2.12e-08
4	4	$256^3$	0.33	11.36	2.12e-08
8	4	$256^3$	0.238	15.76	2.12e-08
1	4	$512^3$	10.36	2.90	1.40e-09
2	4	$512^3$	5.62	5.35	1.40e-09
4	4	$512^3$	2.65	11.35	1.40e-09
8	4	$512^3$	1.38	21.80	1.40e-09

Область:  $[0, \pi] \times [0, \pi] \times [0, \pi]$  ,  $\tau = 0.001$  ,  $K = 20$

Число MPI процессов $N_p$	Число OpenMP нитей в процессе	Число точек сетки $N^3$	Время решения $T$	Ускорение $S$	Погрешность $\delta$
1	4	$128^3$	0.16	2.81	1.07e-08
2	4	$128^3$	0.08	5.63	1.07e-08
4	4	$128^3$	0.04	11.25	1.07e-08
8	4	$128^3$	0.063	7.14	1.07e-08
1	4	$256^3$	1.30	2.92	2.62e-09
2	4	$256^3$	0.64	5.92	2.62e-09
4	4	$256^3$	0.48	7.90	2.62e-09
8	4	$256^3$	0.22	17.23	2.62e-09
1	4	$512^3$	10.42	2.84	6.14e-10
2	4	$512^3$	5.19	5.70	6.14e-10
4	4	$512^3$	2.63	11.24	6.14e-10
8	4	$512^3$	1.36	21.74	6.14e-10

## 4. Параллельная реализация MPI + CUDA и тестирование на Polus

### 4.1. Тестирование на Polus

Тестирование проводилось на вычислительном комплексе Polus МГУ со следующими характеристиками:

- Графические ускорители: NVIDIA Tesla P100-SXM2-16GB
- Процессоры: IBM POWER8
- Число ядер на узел: 20

#### 4.1.1. Параметры тестовой задачи

- Сетка:  $512 \times 512 \times 512$
- Временной шаг:  $\tau = 0.001$
- Число временных шагов:  $K = 20$

### 4.2. Команды компиляции и скрипты запуска

#### 4.2.1. Последовательная версия

Команда компиляции:

```
g++ -O3 wave.cpp -o wave -std=c++11
```

Скрипт запуска:

```
#!/bin/bash
#BSUB -J "Sequential"
#BSUB -o "Sequential_%J.out"
#BSUB -e "Sequential_%J.err"
#BSUB -n 1
#BSUB -W 0:30
#BSUB -R "span[hosts=1]"
#BSUB -m "polus-c3-ib"
export OMP_NUM_THREADS=1
GRID_SIZES=(512)
for grid in "${GRID_SIZES[@]"}; do
    echo "Running test with grid size ${grid}^3"
    ./wave $grid 0.001 20
done
```

#### 4.2.2. MPI версия

Команда компиляции:

```
g++ -O3 mpi.cpp -o mpi -std=c++11
```

module load SpectrumMPI/10.1.0 mpicxx -O3 mpi.cpp -o mpi -std=c++11 Скрипты запуска для различных конфигураций:

Один процесс на узле:

```
#!/bin/bash
#BSUB -n 1
#BSUB -W 0:30
#BSUB -o n1.%J.out
#BSUB -e n1.%J.err
#BSUB -R "span[ptile=1]"
#BSUB -m "polus-c3-ib"

GRID_SIZES=(512)
for grid in "${GRID_SIZES[@]"}; do
    echo "Running test with grid size ${grid}^3 and 1 processes"
    mpirun -np 1 ./mpi $grid 0.001 20
done
```

Десять процессов на узле:

```
#!/bin/bash
#BSUB -n 10
#BSUB -W 0:30
#BSUB -o n10.%J.out
#BSUB -e n10.%J.err
#BSUB -R "span[ptile=10]"
#BSUB -m "polus-c3-ib"

GRID_SIZES=(512)
for grid in "${GRID_SIZES[@]"}; do
    echo "Running test with grid size ${grid}^3 and 10 processes"
    mpirun -np 10 ./mpi $grid 0.001 20
done
```

Двадцать процессов на узле:

```
#!/bin/bash
#BSUB -n 20
#BSUB -W 0:30
#BSUB -o n20.%J.out
#BSUB -e n20.%J.err
#BSUB -R "span[ptile=20]"
#BSUB -m "polus-c3-ib"

GRID_SIZES=(512)
for grid in "${GRID_SIZES[@]"; do
    echo "Running test with grid size ${grid}^3 and 20 processes"
    mpirun -np 20 ./mpi $grid 0.001 20
done
```

#### 4.2.3. MPI + OpenMP версия

Команда компиляции:

```
mpicxx -fopenmp -O3 mpiomp.cpp -o mpiomp -std=c++11
```

Скрипт запуска для одного MPI процесса:

```
#!/bin/bash
#BSUB -n 1
#BSUB -W 0:30
#BSUB -o mpiomp.%J.out
#BSUB -e mpiomp.%J.err
#BSUB -R "affinity[core(20)]"
#BSUB -R "span[ptile=1]"
#BSUB -m "polus-c3-ib"

export OMP_NUM_THREADS=20
for grid in 512; do
    echo "Running test with grid size ${grid}^3"
    mpiexec ./mpiomp $grid 0.001 20 20
done

export OMP_NUM_THREADS=40
for grid in 512; do
    echo "Running test with grid size ${grid}^3"
    mpiexec ./mpiomp $grid 0.001 20 40
done

export OMP_NUM_THREADS=80
for grid in 512; do
    echo "Running test with grid size ${grid}^3"
    mpiexec ./mpiomp $grid 0.001 20 80
done

export OMP_NUM_THREADS=160
```

```
for grid in 512; do
    echo "Running test with grid size ${grid}^3"
    mpiexec ./mpiomp $grid 0.001 20 160
done
```

Скрипт запуска для двух MPI процессов:

```
#!/bin/bash
#BSUB -n 2
#BSUB -W 0:30
#BSUB -o mpiomp.%J.out
#BSUB -e mpiomp.%J.err
#BSUB -R "affinity[core(10)]"
#BSUB -R "span[ptile=2]"
#BSUB -m "polus-c3-ib"

export OMP_NUM_THREADS=20
for grid in 512; do
    echo "Running test with grid size ${grid}^3"
    mpiexec ./mpiomp $grid 0.001 20 20
done

export OMP_NUM_THREADS=40
for grid in 512; do
    echo "Running test with grid size ${grid}^3"
    mpiexec ./mpiomp $grid 0.001 20 40
done

export OMP_NUM_THREADS=80
for grid in 512; do
    echo "Running test with grid size ${grid}^3"
    mpiexec ./mpiomp $grid 0.001 20 80
done
```

#### 4.2.4. MPI + GPU версия

Файл Makefile:

```
# Обязательные переменные
ARCH = sm_60
HOST_COMP = mpicc

# Компилятор и флаги
NVCC = nvcc
NVCC_FLAGS = -O3 -std=c++11 -arch=$(ARCH)
MPI_FLAGS = -I/opt/ibm/spectrum_mpi/include
MPI_LIBS = -L/opt/ibm/spectrum_mpi/lib -lmpi_ibm -lmpiprofilesupport
EXTRA_FLAGS = -Xcompiler -fopenmp

# Имя исполняемого файла
TARGET = mpigpu-1
```

```

# Исходный файл
SRC = mpigpu-1.cu

# Цель по умолчанию
all: $(TARGET)

# Правило компиляции
$(TARGET): $(SRC)
    $(NVCC) $(NVCC_FLAGS) $(MPI_FLAGS) $(EXTRA_FLAGS) -o $@ $< $(MPI_LIBS)

# Правило очистки
clean:
    rm -f $(TARGET)

```

Скрипт запуска для одного MPI процесса и одного GPU:

```

#!/bin/bash
#BSUB -n 1
#BSUB -q normal
#BSUB -W 0:30
#BSUB -gpu "num=1:mode=exclusive_process"
#BSUB -o job_%J.out
#BSUB -e job_%J.err

mpirun -np 1 ./mpigpu-1 512 0.001 20 1

```

Скрипт запуска для двух MPI процессов и двух GPU:

```

#!/bin/bash
#BSUB -n 2
#BSUB -q normal
#BSUB -W 0:30
#BSUB -gpu "num=2:mode=exclusive_process"
#BSUB -o job_%J.out
#BSUB -e job_%J.err

mpirun -np 2 ./mpigpu-1 512 0.001 20 1

```

### 4.3. Проверка корректности MPI+GPU реализации

Для проверки корректности параллельной реализации MPI+GPU было проведено сравнение результатов с последовательной версией программы. Тестирование проводилось для двух конфигураций: с одним MPI процессом и одним GPU, а также с двумя MPI процессами и двумя GPU.

#### 4.3.1. Результаты проверки для одного MPI процесса и одного GPU:

```

Step 2, t = 0.002000, Max Error = 3.967859e-11, L2 Error = 1.406978e-11
Step 4, t = 0.004000, Max Error = 1.587058e-10, L2 Error = 5.627573e-11
Step 6, t = 0.006000, Max Error = 3.570526e-10, L2 Error = 1.266079e-10
Step 8, t = 0.008000, Max Error = 6.346724e-10, L2 Error = 2.250497e-10
Step 10, t = 0.010000, Max Error = 9.915001e-10, L2 Error = 3.515776e-10

```

Step 12, t = 0.012000, Max Error = 1.427449e-09, L2 Error = 5.061618e-10  
Step 14, t = 0.014000, Max Error = 1.942419e-09, L2 Error = 6.887656e-10  
Step 16, t = 0.016000, Max Error = 2.536286e-09, L2 Error = 8.993458e-10  
Step 18, t = 0.018000, Max Error = 3.208909e-09, L2 Error = 1.137852e-09  
Step 20, t = 0.020000, Max Error = 3.960129e-09, L2 Error = 1.404229e-09

#### 4.3.2. Результаты проверки для двух MPI процессов и двух GPU:

Step 2, t = 0.002000, Max Error = 3.967859e-11, L2 Error = 1.406978e-11  
Step 4, t = 0.004000, Max Error = 1.587058e-10, L2 Error = 5.627573e-11  
Step 6, t = 0.006000, Max Error = 3.570526e-10, L2 Error = 1.266079e-10  
Step 8, t = 0.008000, Max Error = 6.346724e-10, L2 Error = 2.250497e-10  
Step 10, t = 0.010000, Max Error = 9.915001e-10, L2 Error = 3.515776e-10  
Step 12, t = 0.012000, Max Error = 1.427449e-09, L2 Error = 5.061618e-10  
Step 14, t = 0.014000, Max Error = 1.942419e-09, L2 Error = 6.887656e-10  
Step 16, t = 0.016000, Max Error = 2.536286e-09, L2 Error = 8.993458e-10  
Step 18, t = 0.018000, Max Error = 3.208909e-09, L2 Error = 1.137852e-09  
Step 20, t = 0.020000, Max Error = 3.960129e-09, L2 Error = 1.404229e-09

Как видно из результатов, погрешность вычислений MPI+GPU версии находится в пределах допустимых значений (порядка  $10^{-9}$ ) и полностью соответствует погрешности последовательной версии, а также версиям OpenMP и MPI+OpenMP. Это подтверждает корректность работы параллельной реализации как для одного, так и для двух GPU.

#### 4.4. Результаты расчетов на IBM Polus для программы MPI+CUDA версии

Область:  $[0, 1] \times [0, 1] \times [0, 1]$

Число MPI процессов $N_p$	Число GPU	Общее время (s)	Время вычислений (s)	Время копирования H2D/D2H (s)	Время обменов MPI (s)	Ускорение (общее) $S_{total}$	Ускорение (вычисления) $S_{comp}$
1	1	0.752	0.655	0.087	0.007	29.23	32.65
2	2	0.505	0.344	0.135	0.054	43.52	63.38

Версия программы	Конфигурация	Общее время (s)	Время инициализации (s)	Время вычислений (s)	Время обработки границ (s)	Время обменов (s)
Последовательная	1 процесс	21.98	0.32	21.55	0.11	-
MPI	1 процесс	39.21	0.34	31.71	6.95	0.21
MPI	10 процессов	6.40	0.08	5.17	1.09	2.22
MPI	20 процессов	2.73	0.08	1.88	0.57	0.62
MPI+OpenMP	1×20	3.00	0.25	2.60	0.01	0.14
MPI+OpenMP	1×40	2.41	0.25	2.01	0.02	0.14
MPI+OpenMP	1×80	2.39	0.25	1.96	0.01	0.17
MPI+OpenMP	1×160	2.54	0.25	2.04	0.01	0.24
MPI+OpenMP	2×20	1.81	0.13	1.60	0.01	0.09
MPI+OpenMP	2×40	1.56	0.13	1.33	0.01	0.10
MPI+OpenMP	2×80	1.83	0.13	1.56	0.01	0.13



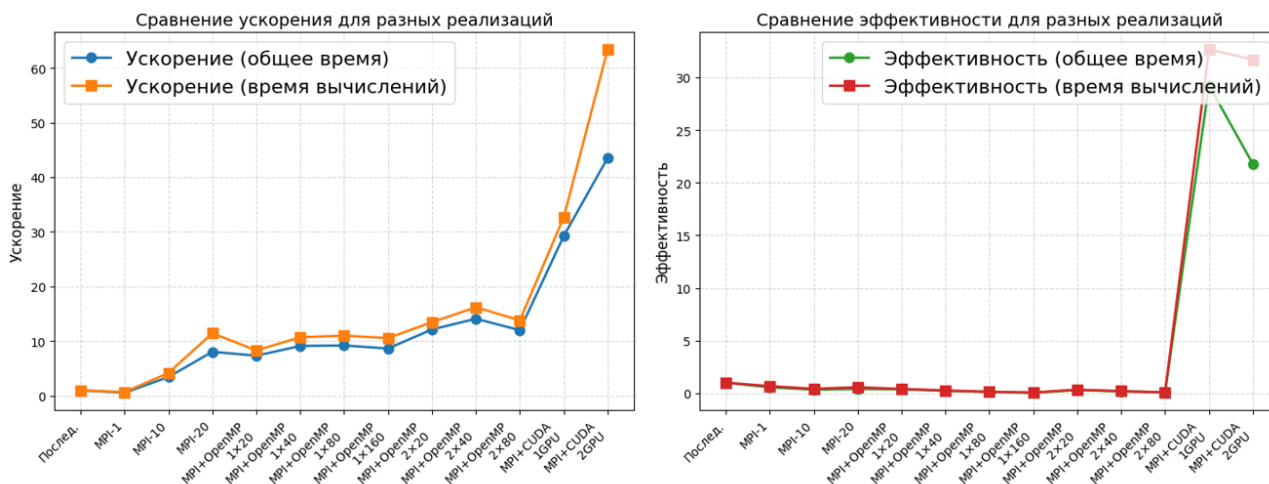
#### 4.5. Сравнение производительности на основе общего времени выполнения

Версия программы	Конфигурация	Время выполнения (s)	Ускорение $S$	Эффективность $E$
Последовательная	1 процесс	21.98	1.00	1.00
MPI	1 процесс	39.21	0.56	0.56
MPI	10 процессов	6.40	3.43	0.34
MPI	20 процессов	2.73	8.05	0.40
MPI+OpenMP	1 MPI процесс $\times$ 20 OpenMP потоков	3.00	7.33	0.37
MPI+OpenMP	1 MPI процесс $\times$ 40 OpenMP потоков	2.41	9.12	0.23
MPI+OpenMP	1 MPI процесс $\times$ 80 OpenMP потоков	2.39	9.20	0.12
MPI+OpenMP	1 MPI процесс $\times$ 160 OpenMP потоков	2.54	8.65	0.05
MPI+OpenMP	2 MPI процесса $\times$ 20 OpenMP потоков	1.81	12.14	0.30
MPI+OpenMP	2 MPI процесса $\times$ 40 OpenMP потоков	1.56	14.09	0.18
MPI+OpenMP	2 MPI процесса $\times$ 80 OpenMP потоков	1.83	12.01	0.08
MPI+CUDA	1 MPI процесс + 1 GPU	0.75	29.23	29.23
MPI+CUDA	2 MPI процесса + 2 GPU	0.50	43.52	21.76

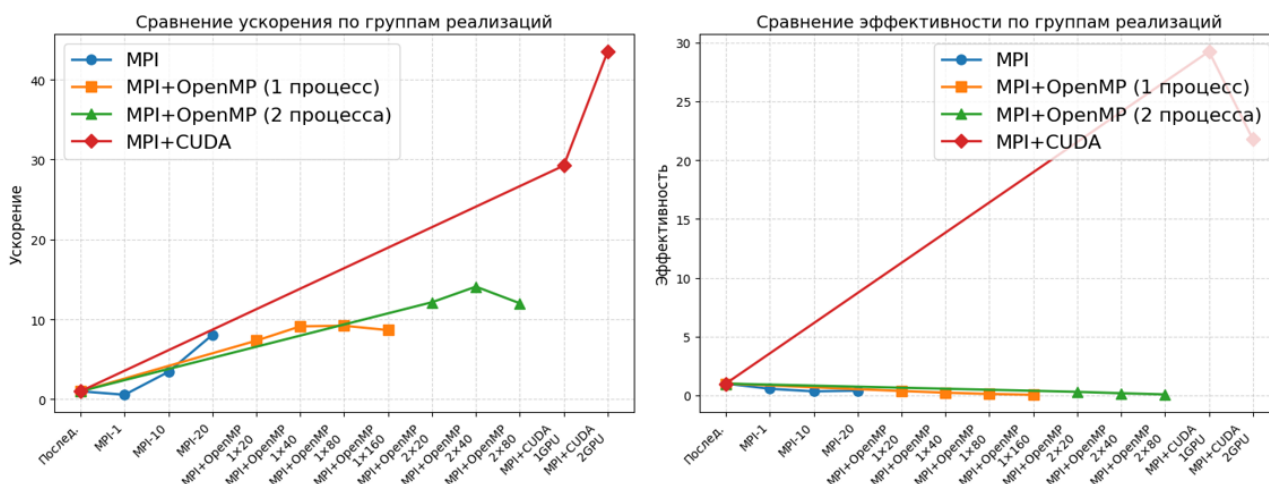
#### 4.6. Сравнение производительности на основе времени вычислений

Версия программы	Конфигурация	Время вычислений (s)	Ускорение $S$	Эффективность $E$
Последовательная	1 процесс	21.55	1.00	1.00
MPI	1 процесс	31.71	0.68	0.68
MPI	10 процессов	5.17	4.17	0.42
MPI	20 процессов	1.88	11.46	0.57
MPI+OpenMP	1 MPI процесс $\times$ 20 OpenMP потоков	2.60	8.29	0.41
MPI+OpenMP	1 MPI процесс $\times$ 40 OpenMP потоков	2.01	10.72	0.27
MPI+OpenMP	1 MPI процесс $\times$ 80 OpenMP потоков	1.96	11.00	0.14
MPI+OpenMP	1 MPI процесс $\times$ 160 OpenMP потоков	2.04	10.56	0.07
MPI+OpenMP	2 MPI процесса $\times$ 20 OpenMP потоков	1.60	13.47	0.34
MPI+OpenMP	2 MPI процесса $\times$ 40 OpenMP потоков	1.33	16.20	0.20
MPI+OpenMP	2 MPI процесса $\times$ 80 OpenMP потоков	1.56	13.81	0.09
MPI+CUDA	1 MPI процесс + 1 GPU	0.66	32.65	32.65
MPI+CUDA	2 MPI процесса + 2 GPU	0.34	63.38	31.69

## 4.7. Анализ масштабируемости и эффективности параллельных реализаций



(а) Сравнение ускорения и эффективности для разных реализаций



(б) Сравнение ускорения и эффективности по группам реализаций

Рисунок 4.1. Анализ производительности параллельных реализаций

Анализ производительности различных параллельных реализаций показал существенные различия в эффективности и масштабируемости рассмотренных подходов.

**MPI реализация:** При использовании чистого MPI наблюдается значительное увеличение производительности с ростом числа процессов. На 20 процессах достигается ускорение в 11.46 раз при вычислительной эффективности 0.57, что демонстрирует хорошую масштабируемость для данного типа задачи. Однако, следует отметить снижение эффективности с увеличением числа процессов, что объясняется ростом накладных расходов на межпроцессное взаимодействие.

**Гибридная реализация MPI+OpenMP:** Использование гибридного подхода демонстрирует такие результаты:

- При одном MPI процессе увеличение числа OpenMP потоков с 20 до 80 приводит к росту ускорения с 8.29 до 11.00, однако дальнейшее увеличение числа потоков до 160 не даёт существенного прироста производительности.
- Конфигурация с двумя MPI процессами показывает лучшие результаты, достигая максимального ускорения в 16.20 раз при использовании 40 потоков на процесс.

Однако эффективность при этом снижается до 0.20, что указывает на значительные накладные расходы при большом количестве потоков.

**Реализация MPI+CUDA:** Наиболее эффективным оказалось использование графических ускорителей:

- На одном GPU достигается ускорение в 32.65 раз с эффективностью 32.65, что значительно превосходит результаты CPU-ориентированных реализаций.
- Использование двух GPU позволяет получить почти линейное масштабирование, увеличивая ускорение до 63.38 раз при сохранении высокой эффективности (31.69).

**Сравнительный анализ:** При сопоставлении различных подходов можно сделать следующие выводы:

- Для систем без GPU оптимальной является гибридная конфигурация с 2 MPI процессами и 40 OpenMP потоками на процесс.
- CUDA-реализация демонстрирует существенное преимущество над CPU-версиями, обеспечивая как высокое ускорение, так и эффективность использования вычислительных ресурсов.
- Масштабируемость MPI+CUDA решения близка к линейной, что указывает на эффективное распределение вычислительной нагрузки между GPU.

На основе проведённого анализа можно рекомендовать использование GPU-ускорителей как наиболее эффективного способа повышения производительности для данной задачи. При отсутствии доступа к GPU, оптимальным выбором является гибридная MPI+OpenMP реализация с умеренным количеством потоков на каждый MPI процесс.

## 4.8. Исходный код

Исходный код проекта доступен в репозитории: <https://github.com/AICCer1/MPI-CUDA>

Репозиторий содержит:

- Последовательную версию в ветке `sequential`
- MPI версию в ветке `mpi`
- MPI+OpenMP версию в ветке `mpi_omp`
- MPI+CUDA версию в ветке `mpi_cuda`
- Скрипты для запуска на кластере Polus

## 5. Компиляция и выполнение программы (на этапах 1 2 3)

### 5.1. Последовательная Версия

#### 5.1.1. Команда компиляции

>\_ Команда компиляции

```
g++ -O2 wave.cpp -o wave
```

#### 5.1.2. Команда выполнения

>\_ Команда запуска

```
./wave 64 0.001 20
```

#### 5.1.3. Параметры командной строки

- 64 --- размер сетки ( $N$ ): количество точек в каждом измерении трехмерной сетки
- 0.001 --- шаг по времени ( $\tau$ ): временной интервал между итерациями
- 20 --- количество временных шагов ( $K$ ): общее число итераций по времени

#### 5.1.4. Скрипт для системы Polus

</> Скрипт OMP1.lsf

```
1 #!/bin/bash
2 #BSUB -J "Sequential"
3 #BSUB -o "Sequential_%J.out"
4 #BSUB -e "Sequential_%J.err"
5 #BSUB -n 1
6 #BSUB -W 0:30
7 #BSUB -R "span[hosts=1]"
8 #BSUB -R "affinity[core(1)]"
9 #BSUB -m "polus-c3-ib"
10 GRID_SIZES=(128 256 512)
11 for grid in "${GRID_SIZES[@]}; do
12     echo "Running test with grid size ${grid}^3"
13     ./wave $grid 0.001 20
14 done
```

## 5.2. OpenMP Вресия

### 5.2.1. Команда компиляции

>\_ Команда компиляции

```
g++ -fopenmp -O2 openmpwave.cpp -o openmpwave
```

### 5.2.2. Команда выполнения

>\_ Команда запуска

```
./wave3dOMP 64 0.001 20 4
```

### 5.2.3. Параметры командной строки

- 64 --- размер сетки ( $N$ ): количество точек в каждом измерении трехмерной сетки
- 0.001 --- шаг по времени ( $\tau$ ): временной интервал между итерациями
- 20 --- количество временных шагов ( $K$ ): общее число итераций по времени
- 4 --- количество потоков OpenMP: число параллельных потоков для вычислений

### 5.2.4. Скрипт для системы Polus

Скрипт выполняет тестирование программы с различным количеством потоков (1, 2, 4, 8, 16, 32, 64) и различными размерами сетки (128, 256, 512).

</> Скрипт OMP1.lsf

```
1 #BSUB -J "OpenMP_1_32t"
2 #BSUB -o "OpenMP_1_32t_%J.out"
3 #BSUB -e "OpenMP_1_32t_%J.err"
4 #BSUB -R "affinity[core(16)]"
5 for threads in 1 2 4 8 16 32 64; do
6     OMP_NUM_THREADS=$threads
7     for size in 128 256 512; do
8         /polusfs/lsf/openmp/launchOpenMP.py ./openmpwave $size 0.001 20 $threads
9     done
10 done
11
```

## 5.3. MPI Версия

### 5.3.1. Команда компиляции

>\_ Команда компиляции

```
module load SpectrumMPI/10.1.0
mpicxx -O2 onlyMPI.cpp -o onlyMPI -std=c++11
```

### 5.3.2. Команда выполнения

#### >\_ Команда запуска

```
mpirun -np 16 ./onlyMPI 512 0.001 20
```

### 5.3.3. Параметры командной строки

- 512 --- размер сетки ( $N$ ): количество точек в каждом измерении трехмерной сетки
- 0.001 --- шаг по времени ( $\tau$ ): временной интервал между итерациями
- 20 --- количество временных шагов ( $K$ ): общее число итераций по времени

### 5.3.4. Скрипт для системы Polus

При проведении тестирования использовались два узла Polus (polus-c3-ib и polus-c4-ib). Процессы равномерно распределялись между узлами для обеспечения сбалансированной нагрузки.

Для версии с MPI использовались следующие скрипты:

Для 2 процессов (по 1 процессу на узел):

```
#!/bin/bash
#BSUB -n 2
#BSUB -W 0:30
#BSUB -o n2.%J.out
#BSUB -e n2.%J.err
#BSUB -R "span[ptile=1]"
#BSUB -m "polus-c3-ib polus-c4-ib"

GRID_SIZES=(128 256 512)

for grid in "${GRID_SIZES[@]"; do
    echo "Running test with grid size ${grid}^3 and 2 processes"
    mpirun -np 2 ./onlyMPI $grid 0.001 20
done
```

Для 4 процессов (по 2 процесса на узел):

```
#!/bin/bash
#BSUB -n 4
#BSUB -W 0:30
#BSUB -o n4.%J.out
#BSUB -e n4.%J.err
#BSUB -R "span[ptile=2]"
#BSUB -m "polus-c3-ib polus-c4-ib"

GRID_SIZES=(128 256 512)

for grid in "${GRID_SIZES[@]"; do
    echo "Running test with grid size ${grid}^3 and 4 processes"
    mpirun -np 4 ./onlyMPI $grid 0.001 20
done
```

Для 8 процессов (по 4 процесса на узел):

```
#!/bin/bash
#BSUB -n 8
#BSUB -W 0:30
#BSUB -o n8.%J.out
#BSUB -e n8.%J.err
#BSUB -R "span[ptile=4]"
#BSUB -m "polus-c3-ib polus-c4-ib"

GRID_SIZES=(128 256 512)

for grid in "${GRID_SIZES[@]"; do
    echo "Running test with grid size ${grid}^3 and 8 processes"
    mpirun -np 8 ./onlyMPI $grid 0.001 20
done
```

Для 10 процессов (по 5 процесса на узел):

```
#!/bin/bash
#BSUB -n 10
#BSUB -W 0:30
#BSUB -o n10.%J.out
#BSUB -e n10.%J.err
#BSUB -R "span[ptile=5]"
#BSUB -m "polus-c3-ib polus-c4-ib"

GRID_SIZES=(128 256 512)

for grid in "${GRID_SIZES[@]"; do
    echo "Running test with grid size ${grid}^3 and 10 processes"
    mpirun -np 10 ./onlyMPI $grid 0.001 20
done
```

Для 16 процессов (по 8 процессов на узел):

```
#!/bin/bash
#BSUB -n 16
#BSUB -W 0:30
#BSUB -o n16.%J.out
#BSUB -e n16.%J.err
#BSUB -R "span[ptile=8]"
#BSUB -m "polus-c3-ib polus-c4-ib"

GRID_SIZES=(128 256 512)

for grid in "${GRID_SIZES[@]"; do
    echo "Running test with grid size ${grid}^3 and 16 processes"
    mpirun -np 16 ./onlyMPI $grid 0.001 20
done
```

Для 20 процессов (по 10 процесса на узел):

```
#!/bin/bash
#BSUB -n 20
#BSUB -W 0:30
#BSUB -o n20.%J.out
#BSUB -e n20.%J.err
#BSUB -R "span[ptile=10]"
#BSUB -m "polus-c3-ib polus-c4-ib"

GRID_SIZES=(128 256 512)

for grid in "${GRID_SIZES[@]"; do
    echo "Running test with grid size ${grid}^3 and 20 processes"
    mpirun -np 20 ./onlyMPI $grid 0.001 20
done
```

Для 32 процессов (по 16 процессов на узел):

```
#!/bin/bash
#BSUB -n 32
#BSUB -W 0:30
#BSUB -o n32.%J.out
#BSUB -e n32.%J.err
#BSUB -R "span[ptile=16]"
#BSUB -m "polus-c3-ib polus-c4-ib"

GRID_SIZES=(128 256 512)

for grid in "${GRID_SIZES[@]"; do
    echo "Running test with grid size ${grid}^3 and 32 processes"
    mpirun -np 32 ./onlyMPI $grid 0.001 20
done
```

## 5.4. MPI + OpenMP Версия

### 5.4.1. Команда компиляции

>\_ Команда компиляции

```
module load SpectrumMPI/10.1.0
mpicxx -fopenmp -O2 mpiomp.cpp -o mpiomp -std=c++11
```

### 5.4.2. Команда выполнения

>\_ Команда запуска

```
mpirun -np 4 ./mpiomp 256 0.001 20 4
```

### 5.4.3. Скрипт для системы Polus

Для гибридной версии MPI+OpenMP использовались следующие скрипты: Для 1 MPI процесса с 4 потоками OpenMP:



```
#!/bin/bash
#BSUB -n 1
#BSUB -W 0:30
#BSUB -o mpiomp.%J.out
#BSUB -e mpiomp.%J.err
#BSUB -R "affinity[core(4)]"
#BSUB -R "span[ptile=1]"
#BSUB -m "polus-c3-ib"

export OMP_NUM_THREADS=4

for grid in 128 256 512; do
    echo "Running test with grid size ${grid}^3"
    mpiexec ./mpiomp $grid 0.001 20 4
done
```

Для 2 MPI процессов с 4 потоками OpenMP каждый (по 1 процессу на узел):

```
#!/bin/bash
#BSUB -n 2
#BSUB -W 0:30
#BSUB -o mpiomp.%J.out
#BSUB -e mpiomp.%J.err
#BSUB -R "affinity[core(4)]"
#BSUB -R "span[ptile=1]"
#BSUB -m "polus-c3-ib polus-c4-ib"

export OMP_NUM_THREADS=4

for grid in 128 256 512; do
    echo "Running test with grid size ${grid}^3"
    mpiexec ./mpiomp $grid 0.001 20 4
done
```

Для 4 MPI процессов с 4 потоками OpenMP каждый (по 2 процесса на узел):

```
#!/bin/bash
#BSUB -n 4
#BSUB -W 0:30
#BSUB -o mpiomp.%J.out
#BSUB -e mpiomp.%J.err
#BSUB -R "affinity[core(4)]"
#BSUB -R "span[ptile=2]"
#BSUB -m "polus-c3-ib polus-c4-ib"

export OMP_NUM_THREADS=4

for grid in 128 256 512; do
    echo "Running test with grid size ${grid}^3"
    mpiexec ./mpiomp $grid 0.001 20 4
done
```

Для 8 MPI процессов с 4 потоками OpenMP каждый (по 4 процесса на узел):

```
#!/bin/bash
#BSUB -n 8
#BSUB -W 0:30
#BSUB -o mpiomp.%J.out
#BSUB -e mpiomp.%J.err
#BSUB -R "affinity[core(4)]"
#BSUB -R "span[ptile=4]"
#BSUB -m "polus-c3-ib polus-c4-ib"

export OMP_NUM_THREADS=4

for grid in 128 256 512; do
    echo "Running test with grid size ${grid}^3"
    mpiexec ./mpiomp $grid 0.001 20 4
done
```

Параметр `span[ptile=N]` в скриптах обеспечивает равномерное распределение процессов между узлами, где `N` - количество процессов на один узел. Для гибридной версии дополнительно используется параметр `affinity[core(4)]`, который выделяет 4 ядра для каждого MPI процесса под потоки OpenMP.

## Список литературы

- [1] Задание №1 3-й поток по курсу «Суперкомпьютерное моделирование и технологии», октябрь 2024 - декабрь 2024.
- [2] Суперкомпьютер IBM Polus. [Электронный ресурс]. URL: <http://hpc.cs.msu.su/polus>
- [3] Самарский А.А., Гулин А.В. Численные методы. --- М.: Наука. Гл. ред. физ-мат. лит., 1989.